



# سنجش از دور

## و GIS ایران



سنجش از دور و GIS ایران سال پانزدهم، شماره چهارم، زمستان Vol.15, No. 4, Winter 2023 Iranian Remote Sensing & GIS

۱-۱۶

مقاله پژوهشی

### مقایسه کارآیی الگوریتم زون اقلیم محلی در تفکیک مناطق ساختوسازشده در قیاس با نمایه‌های ساختوسازشده

نجمه ستاری<sup>۱</sup>، ملیحه عرفانی<sup>۲\*</sup>، فاطمه جهانی شکیب<sup>۳</sup>

۱. دانشجوی کارشناسی ارشد، گروه محیط‌زیست، دانشکده منابع طبیعی، دانشگاه زابل

۲. دانشیار گروه محیط‌زیست، دانشکده منابع طبیعی، دانشگاه زابل

۳. استادیار گروه محیط‌زیست، دانشکده منابع طبیعی و محیط‌زیست، دانشگاه بیرجند

تاریخ پذیرش مقاله: ۱۴۰۱/۰۴/۱۵

تاریخ دریافت مقاله: ۱۴۰۰/۱۰/۱۰

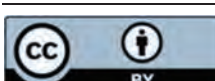
### چکیده

بررسی روند رشد شهرها و پیش‌بینی تغییرات آنها در آینده، برای برنامه‌ریزی‌های فضایی، ضرورت دارد. به‌این‌منظور، به نقشه‌سازی پهنه‌های ساختوسازشده نیاز است. در بسیاری مناطق، به‌ویژه در اقلیم خشک، تفکیک مناطق ساختوسازشده از محیط اطراف به‌سادگی و با روش‌های معمول طبقه‌بندی تصاویر ماهواره‌ای و یا نمایه‌های متداول، با دقت مورد قبول، امکان‌پذیر نیست؛ از این‌رو بسیاری از پژوهشگران نمایه‌های طیفی گوناگونی را به‌منظور استخراج مناطق ساختوسازشده، تosome‌دهند. استفاده از تغییرات دمای سطح زمین برای نشان‌دادن مناطق ساختوسازشده، به‌کمک الگوریتم زون‌های اقلیمی محلی (LCZ) کمتر مورد توجه بوده است و روش نسبتاً جدیدی محسوب می‌شود؛ بنابراین در این مقاله، تفکیک مناطق ساختوسازشده از سایر انواع پوشش اراضی پیرامونی آن، با استفاده از الگوریتم LCZ انجام شد. با توجه به محدودیت‌نشاشتن تعداد باند در این روش، از چهار سری تصاویر ماهواره‌ای لندست متعلق به سال ۲۰۲۰ استفاده شد و صحت آن با جدیدترین نمایه‌های ساختوسازشده (BAEI, BLFEI, DBI, BAEI) که به‌صورت خودکار طبقه‌بندی شده‌اند، مورد مقایسه قرار گرفت. نتایج این مطالعه نشان داد که صحت طبقه‌بندی ناشی از الگوریتم LCZ ۹۶٪ است؛ در صورتی که نمایه‌های BLFEI و BAEI قادر به تفکیک کامل مناطق ساختوسازشده از سایر انواع پوشش اراضی نیست و صحت کلی نمایه BAEI نیز ۳۷٪ به‌دست آمد. بنابراین کارآیی روش LCZ بیشتر از نمایه‌های ساختوسازشده است و در مورد مناطق خشک و نیمه‌خشک، توصیه می‌شود.

**کلیدواژه‌ها:** کاربری اراضی، لندست، باند حرارتی مادون قرمز، طبقه‌بندی، نمایه طیفی.

\* نویسنده مکاتبه‌کننده: استان سیستان و بلوچستان، زابل، میدان جهاد، خیابان شهید مفتح، دانشگاه زابل، دانشکده منابع طبیعی، گروه محیط‌زیست، کد پستی: ۹۸۶۱۶-۷۳۸۳۱  
صندوق پستی: ۹۱۵۱۶-۴۳۶۶. تلفن: ۰۹۸۶۱۵-۵۳۸

Email: maliheerfani@uoz.ac.ir  
<https://orcid.org/0000-0001-5179-9447>  
<https://dx.doi.org/10.48308/gisj.2022.102576>



Copyright: © 2023 by the authors. Submitted for possible open access publication under the terms and conditions of the Creative Commons Attribution (CC BY) license (<https://creativecommons.org/licenses/by/4.0/>).

اراضی بایر در بسیاری این اکوسیستم‌ها، چه به صورت فصلی و چه دائمی، نقش مهمی ایفا می‌کند؛ برای نمونه، هنگام وزش طوفان‌های شن، منبع رسوبات بادی به شمار می‌روند. با این حال تمایز اراضی بایر از مناطق شهری، در محیط‌های خشک و نیمه‌خشک، اغلب دشوار است (Rouibah & Belabbas, 2020). روش‌ها و تکنیک‌های گوناگونی برای شناسایی مناطق شهری از سایر انواع پوشش اراضی به کار می‌رود (Zha et al., 2003; Rasul et al., 2018; Zha et al., 2003; Shahfahad et al., 2021). در این زمینه تلاش‌های شایان توجهی برای ساده‌سازی فرایند نقشه‌برداری خودکار پوشش سرزمین، مانند استفاده از نمایه‌های سنجش از دوری، انجام شده است (Akib et al., 2014). نمایه‌های طیفی شهری، در دو دهه اخیر، در مطالعات پوشش اراضی کاربری اراضی شهری از طریق نقشه‌برداری، برآورده، تشخیص تغییرات، تحلیل سری‌های زمانی، دینامیک شهری، پایش، مدل‌سازی و دیگر موارد پیشرفت‌های امیدوار کننده‌ای داشته‌اند (Akib et al., 2021; Huang et al., 2014). ویژگی نمایه‌های طیفی سنجش از دور در استخراج اطلاعات بدون نظارت، بی‌طرفانه، سریع، مقیاس‌پذیر و کمی است (Akib et al., 2021). اما نمایه‌های توسعه‌یافته در مورد مناطق با آب‌وهواهی مرطوب ممکن است نتایج مورد قبولی در مناطق خشک و نیمه‌خشک در برداشته باشند، برای نمونه، نمایهٔ تفاضل نرمال‌شده مناطق ساخت‌وساز شده (NDBI)<sup>۱</sup> در سال ۲۰۰۳ به منزله روشی جدید پیشنهاد شد که مناطق ساخت‌وساز شده را به صورت خودکار از سایر مناطق تفکیک می‌کند. این روش اولین بار، در عمل، برای استخراج داده‌های منطقه‌ای ساخت‌وساز شده از شهر نانجينگ<sup>۲</sup>، شرق چین، به کار رفت (Zha et al., 2003). اگرچه شاخص NDBI برای تمایز بین محیط‌های ساخت‌وساز شده و پوشش گیاهی شهر نانجينگ مناسب بود، در تمایز بین

**۱- مقدمه**  
رشد جمعیت در مناطق شهری به گسترش مناطق ساخت‌وساز شده منجر می‌شود که مشکلات در خور توجهی، مانند آلودگی محیط‌زیست، تخریب اکولوژی شهری و تغییر اقلیم را به همراه دارد (Shahfahad et al., 2021). به دلیل سرعت شهرنشینی، پوشش زمین در بسیاری از مناطق شهری جهان سریع‌تر از همیشه در حال تغییر است (Zha et al., 2003)؛ به گونه‌ای که حتی از میزان رشد جمعیت شهری نیز پیشی گرفته است (Shahfahad et al., 2021). از این‌رو بررسی تغییرات رشد شهرها و پیش‌بینی تغییرات آنها در آینده، برای برنامه‌ریزی‌های مکانی، ضروری است. به این‌منظور در گام نخست، نقشه‌سازی پهنه‌های ساخت‌وساز شده ضرورت می‌پابد.

یکی از متداول‌ترین ماهواره‌ها، با تفکیک فضایی متوسط در مطالعات منابع طبیعی و مدیریت محیط‌زیست، لندست است که در مطالعات شهری نیز کاربرد گسترده دارد. برخی باندهای مفید ماهواره لندست که به کمک آنها می‌توان پوشش‌های اراضی گوناگون را در محیط شهری تفکیک کرد، عبارت‌اند از: باند سبز (G)، باند قرمز (R)، مادون قرمز کوتاه ۱ (OLI6- SWIR1) و مادون قرمز کوتاه ۲ (OLI7- SWIR2) (Bouhennache et al., 2018). در طیف الکترومغناطیسی، مناطق ساخت‌وساز شده دارای میزان بازتاب فراوان (SWIR1 (۱/۶۰ میکرومتر)، SWIR2 (۲/۲۰ میکرومتر) و میزان اندک بازتاب سبز (۰/۵۶ میکرومتر) و قرمز (۰/۶۵ میکرومتر) هستند و پوشش گیاهی و بایر میزان فراوان در باند OLI5 (۰/۸۶ میکرومتر) دارند؛ بنابراین با ترکیب باندهای متفاوت ماهواره لندست، می‌توان پوشش اراضی گوناگون را تفکیک کرد (Bouhennache et al., 2018).

## ۲- مرور تحقیقات گذشته

ویژگی‌های طیفی مناطق خشک و نیمه‌خشک با سایر مناطق اقلیمی متفاوت است (Rasul et al., 2018).

- 
1. Normalized Difference Built-Up Index
  2. Nanjing

بهنظر می‌رسد این شاخص، برای استفاده در شهرها در محیط‌های نیمه‌خشک، مناسب نباشد (Rasul et al., 2018). شاخص‌های خاک بایر، بهوژه NDBaI، اغلب در مناطق مرطوب با دقت بالا استفاده می‌شود؛ در حالی که خاک لخت در مناطق خشک به شاخص‌های بهمودیافتہ نیاز دارد (Rasul et al., 2018). اس-سیاکور<sup>۷</sup> و همکاران<sup>۸</sup> (۲۰۱۲) نمایه بهمودیافتہ ساخت‌وساز و بایری (EBBI)<sup>۹</sup> را پیشنهاد و مطالعه‌ای موردنظر درباره شهر دنپاسار<sup>۹</sup> در بالی اندونزی مطرح کردند که براساس نمایه آنها در این شهر، دارای دقت کلی ۵/۹۰٪ در تشخیص اراضی ساخت‌وسازشده و بایر بود. در این نمایه، از باندهای مادون قرمز نزدیک، مادون قرمز کوتاه (SWIR)<sup>۱۰</sup> و TIR استفاده شده است. باند SWIR قابلیت بسیاری در تمایز زمین‌های مرطوب از خشک دارد که در کنار باندهای TIR و NIR، برای محاسبه EBBI به کار رفت. مسکرجی<sup>۱۱</sup> و همکاران (۲۰۲۱) روش جدیدی، مبتنی بر نمایه را برای استخراج مناطق ساخت‌وسازشده از تصاویر لندست-۷، توسعه دادند. آنها نام این شاخص را <sup>۱۲</sup>PB1BI گذاشتند و میانگین دقت کلی و ضریب کاپا را برای سایتهای مورد مطالعه، به ترتیب ۴۵/۴۷٪ و ۰/۹۷٪ بدست آورند. در این نمایه، از باندهای آبی، قرمز و مادون قرمز کوتاه استفاده می‌شود. نمونه مطالعات انجام شده با استناد بالا در سال‌های اخیر، در اقلیم‌های خشک و نیمه‌خشک، با کمک تصاویر ماهواره‌ای لندست-۸ و سنجنده‌های OLI<sup>۱۳</sup> و TIRS<sup>۱۴</sup> در ادامه بیان شده است.

1. Chen
  2. Bare Soil Index
  3. Near Infrared
  4. Normalized Difference Barenness Index
  5. Thermal Infrared Band
  6. Middle Infrared
  7. As-syakur
  8. Enhanced Built-Up and Barenness Index
  9. Denpasar
  10. Short Wave Infrared
  11. Mukherjee
  12. Powered B1 Builtup Index
  13. Operational Land Imager
  14. Thermal Infrared Sensor

مناطق ساخت و ساز شده و سایر پوشش های زمین مانند خاک بر亨ه و خشک که شهر را احاطه کرده اند، به دلیل هم پوشانی بازتاب طیفی، نتیجه مطلوب نداشت (He et al., 2010). به علاوه با اینکه چندین تکنیک برای تفکیک کاربری و پوشش زمین ایجاد شده، ارزیابی عملکرد و دقیق این تکنیک ها در مناطق آب و هوایی خشک به ندرت در دسترس است؛ بنابراین رویکردهای مناسب سنجش از دوری در زمینه تفکیک کاربری اراضی و انواع پوشش زمین باید در مورد زمین های خشک و نیمه خشک تعییف شوند (Rasul et al., 2018).

به کارگیری نمایه‌های سنجش از دوری که از باندهای طبیعی استفاده می‌کنند، رویکرد خوبی برای تشخیص انواع پوشش زمین است (Chen et al., 2006<sup>۴</sup>؛ ازین‌رو بسیاری از پژوهشگران نمایه‌های را با هدف استخراج مناطق ساخت و ساز شده در مناطق خشک توسعه داده‌اند. چن<sup>۱</sup> و همکاران (۲۰۰۴) شاخص خاک بایر (BI)<sup>۲</sup> را برای استخراج زمین بایر از داده‌های ماهواره‌ای پیشنهاد کردند. آنها از باندهای سبز، قرمز و مادون قرمز نزدیک (NIR)<sup>۳</sup> در محاسبه این نمایه بهره برداشتند تا بهتر بتوانند مناطق دارای پوشش گیاهی را از سایر مناطق شناسایی کنند (طول موج‌های قرمز و مادون قرمز به منظور شناسایی پوشش گیاهی و طول موج سبز برای رفع تأثیرات اتمسفری در پوشش گیاهی). این پژوهشگران نمایه تفاضل نرمال شده بایر (NDBaI)<sup>۴</sup> را برای تمایز زمین بایر از سایر طبقات کاربری زمین با استفاده از داده‌های لنdest مطرح کردند. باند مادون قرمز حرارتی (TIR)<sup>۵</sup> سنجنده TM ماهواره لنdest انتشار انرژی حرارتی از سطح زمین را اندازه‌گیری می‌کند و از آنجاکه این انرژی تابعی از پوشش سطح زمین است، می‌تواند به منزله تعیین‌کننده نوع پوشش اراضی استفاده شود. از این‌رو این شاخص براساس تفاوت بازتاب باند TIR و میزان جذب کل طول موج‌های فروسرخ میانی (MIR)<sup>۶</sup> از طریق خاک بایر اندازه‌گیری می‌شود (Chen et al., 2006<sup>۷</sup>). در این روش، ارزش NDBaI مناطق ساخته شده بیشتر از زمین‌های بایر نشان داده می‌شود و بدین ترتیب

طبقه‌بندی نظارت شده محسوب می‌شود که در سال ۲۰۱۲ توسعه یافته است و استانداردی جدید برای توصیف مناظر شهری به شمار می‌رود. این روش رویکرد طبقه‌بندی جامعی عرضه کرده است که پوشش زمین و ویژگی‌های فیزیکی مرتبط را در مقیاس خرد درنظر می‌گیرد (Demuzere et al., 2021) اما تا کنون، برای تفکیک مناطق ساخت‌وسازشده از سایر پوشش اراضی در مناطق خشک و نیمه‌خشک، استفاده نشده است؛ از این‌رو بمنظور دستیابی به چنین تفکیکی، کارآبی این روش در مقایسه با برخی نمایه‌های مناطق ساخت‌وسازشده معرفی شده برای مناطق خشک و نیمه‌خشک، باید حتماً مطالعه شود. به همین دلیل، مطالعه حاضر جدیدترین روش طبقه‌بندی نظارت شده و نمایه‌های سنجش از دوری مناطق ساخت‌وسازشده را به کار برد تا به این پرسش‌ها پاسخ دهد:

- (۱) ارزیابی صحت طبقه‌بندی روش LCZ با تأکید بر تفکیک مناطق ساخت‌وسازشده از سایر پوشش اراضی، در منطقه خشک و نیمه‌خشک؛
- (۲) امکان سنجی طبقه‌بندی خودکار نقشه‌های حاصل از نمایه‌های ساخت‌وساز در منطقه خشک و نیمه‌خشک، با صحت مورد قبول؛

- (۳) مقایسه صحت روش LCZ با نمایه‌های ساخت‌وسازشده.

1. Bhatti & Kumar Tripathi
2. Bouzekri
3. Djelfa
4. Built-up Area Extraction Index
5. Band Ratio for Built-up Area
6. Normalized Built-Up Index
7. New Built-Up Index
8. Rasul
9. Dry Built-Up Index
10. Bouhennache
11. Built-Up Land Features Extraction Index
12. Khan
13. Land Surface Temperature
14. Normalized Difference Impervious Index
15. Local Climatic Zone Classification

باتی و کومار تریپاتی<sup>۱</sup> (۲۰۱۴) صحت کلی تفکیک طبقه‌بندی مناطق ساخت‌وسازشده و ساخت‌وسازشده را براساس نمایه BAEM در منطقه لاہور پاکستان، بیشتر از سایر نمایه‌های متدالو مانند NDBI گزارش کردند. بوذکری<sup>۲</sup> و همکاران (۲۰۱۵) در شهر تیلفا،<sup>۳</sup> شمال الجزایر در افریقا، نمایه جدیدی به نام BAEI<sup>۴</sup> را برای تفکیک مناطق ساخت‌وسازشده از سایر کاربری‌ها، به کار بردند و به کارآبی بالای صحت کلی آن، در قیاس با دیگر نمایه‌ها مانند NDBI<sup>۵</sup>، BRBA<sup>۶</sup> و NBAI<sup>۷</sup> اشاره کردند. در مطالعه رسول<sup>۸</sup> و همکاران (۲۰۱۸) از نمایه DBI<sup>۹</sup>، برای تفکیک مناطق ساخت‌وسازشده از سایر پوشش اراضی در اربیل عراق، استفاده شد و صحت کلی ۰/۹۳ و ضریب کاپا ۰/۸۶ گزارش شد. محققان یادشده این نمایه را مناسب اقلیم‌های خشک معرفی کردند. بونحاجی<sup>۱۰</sup> و همکاران (۲۰۱۸) BLFEI<sup>۱۱</sup> را معرفی کردند و آن را برای تفکیک مؤلفه‌های اصلی سیستم شهری مانند مناطق ساخت‌وسازشده، بایر، پوشش گیاهی و آب در الجزایر افریقا به کار بردند. صحت نمایه در طبقه‌بندی، با این روش، بیشتر از نمایه‌های مناطق ساخت‌وسازشده پیشین گزارش شد.

محیط حرارتی شهری ارتباط نزدیکی با الگوهای سیمای سرزمین و ویژگی‌های سطح زمین دارد. مطالعات متعددی رابطه بین ویژگی‌های سطح زمین و دمای سطح زمین (LST) را بررسی کرده‌اند. برای نمونه، خان<sup>۱۲</sup> و همکاران (۲۰۲۱) اثر نمایه‌های کاربری اراضی/پوشش اراضی مبتنی بر سنجش از دور را در LST<sup>۱۳</sup>، در بلوک‌های ساخته‌شده شهری، بررسی کردند. نمایه‌های مورد استفاده آنها نمایه تفاضل نفوذناپذیر نرمال‌شده (NDISI)<sup>۱۴</sup>، نمایه مناطق ساخت‌وسازشده خشک (DBI)<sup>۱۵</sup> و شاخص خاک لخت (بایر) بود. نتایج این مطالعه نشان داد از نمایه‌های کاربری اراضی/پوشش اراضی می‌توان در توضیح LST انواع کاربری اراضی/پوشش استفاده کرد. طبقه‌بندی زون‌های اقلیمی محلی (LCZ)<sup>۱۶</sup> از روش‌های جدید

۲۰۲۰/۶/۲۶، ۲۰۲۰/۷/۸، ۲۰۲۰/۷/۸ و ۲۰۲۰/۸/۲۲

استفاده شد. مدار این ماهواره در ارتفاع ۷۰۵ کیلومتری از سطح زمین قرار گرفته و تصاویر آن شانزده بیتی است. تمامی تصاویر متعلق به path و row به ترتیب ۱۵۷ و ۴۰ است و پس از تصحیح اتمسفری به روش FIAASH<sup>۱</sup> برای به دست آوردن نمایه های ساخت و ساز شده و طبقه بندی LCZ به کار رفتند.

#### طبقه بندی به روش LCZ

با استفاده از نرم افزار GIS SAGA و باندهای یک تا هفت و باند ۱۱ و ۱۲ سنجنده OLI ماهواره لندست-۸، طبقه بندی انجام شد. از آنجاکه این روش از روش های طبقه بندی نظارت شده به شمار می رود، به نمونه های تعلیمی نیاز دارد. نمونه های تعلیمی مورد نیاز با دقت بالا در محیط گوگل ارث و با کمک باز دید میدانی تهیه شد. تعداد طبقات مورد نظر در این روش یازده تاست (جدول ۱) (Demuzere et al., 2021) که همه آنها در منطقه مورد مطالعه وجود دارد و برای آنها نمونه تعلیمی تهیه شد. نقشه حاصل دوباره به چهار دسته مناطق ساخت و ساز شده، پوشش گیاهی، اراضی باز و اراضی صخره ای تقسیم شد.

### ۳- مواد و روش ها

#### ۱- منطقه مورد مطالعه

شهرستان زاهدان، با وسعت ۳۱۲۵۰ کیلومتر مربع، ۱۷٪ مساحت استان سیستان و بلوچستان را به خود اختصاص داده است. این شهرستان مرکز استان سیستان و بلوچستان است و از لحاظ موقعیت جغرافیایی، در طول جغرافیایی ۶۰ درجه و ۵۱ دقیقه و ۲۵ ثانیه شرقی و عرض جغرافیایی ۲۹ درجه و ۳۰ دقیقه و ۴۵ ثانیه شمالی قرار دارد (شکل ۱). ارتفاع شهر از سطح دریا ۱۳۷۸ متر است. شهرستان زاهدان از شمال به شهرستان هامون و کویر لوت، از شرق به کشور پاکستان، از غرب به استان کرمان و از جنوب به شهرستان خاش محدود می شود. میانگین بارندگی و درجه حرارت سالیانه آن به ترتیب ۹۰/۶ میلی متر و ۱۸/۴ درجه سانتی گراد است و طبق آخرین سرشماری، جمعیت شهرستان زاهدان، تا سال ۱۳۹۵، ۵۶۰۷۲۵ نفر بوده است (Mohammadi et al., 2020).

#### ۲- روش پژوهش

به منظور طبقه بندی پوشش اراضی، در این مطالعه از تصاویر ماهواره ای لندست-۸، متعلق به تاریخ های



#### 1. Fast Line-of-Sight Atmospheric Analysis of Spectral Hypercubes

جدول ۱. طبقات روش LCZ (طبقات موجود در منطقه با عالمت ستاره مشخص شده‌اند)

طبقه‌بندی مجدد	توضیحات	تعداد طبقات ساختمان	نام انگلیسی	طبقه
مناطق	ساختمان‌های متراکم با پس‌زمینه سطوح نفوذناپذیر	نه طبقه به بالا سه تا نه طبقه یک تا سه طبقه	COMPACT HIGH-RISE COMPACT MID-RISE COMPACT LOW-RISE	اول دوم * سوم
	تراکم چندانی ندارند و حدفاصلشان پوشش گیاهی قرار دارد	نه طبقه به بالا سه تا نه طبقه یک تا سه طبقه	OPEN HIGH-RISE OPEN MID_RISE OPEN LOW-RISE	چهارم * پنجم * ششم
	ساختمان‌هایی که به صورت متراکم روی سطوح خاکی قرار گرفته اند		LIGHT WEIGHT LOW-RISE	* هفتم
	انبارها و سوله‌ها		LARGE LOW RISE	* هشتم
	ساختمان‌های پراکنده در بین پوشش گیاهی		SPARSELY BUILT	* نهم
	مناطق صنعتی		HEAVY INDUSTRY	* دهم
	درختان متراکم		DENC TREES	* یازدهم
	درختان پراکنده		SCATTERED TRES	دوازدهم (۱۰۲)
	مراتع، درختان و درختچه‌های دارای پوشش گیاهی		BUSH SCRUB	سیزدهم (۱۰۳)
	زمین‌های زراعی و سبزه		LOW PLANTS	چهاردهم * (۱۰۴)
اراضی صخره‌ای	مناطق بایر یا سنگ‌فرش شده		BARE ROCK OR PAVED	پانزدهم (۱۰۵)
	کوهها و صخره‌های اطراف که پوشش گیاهی ندارند		BARE SOLID OR SAND	شانزدهم * (۱۰۶)
	- پهنه‌های آبی		WATER	هفدهم (۱۰۷)

### نمایه‌های ساخت‌وسازشده و طبقه‌بندی آنها

نمایه‌های مناطق ساخت‌وسازشده مورد بررسی در این پژوهش شامل DBI، BLFEI و BAEI و BAE می‌شود. شایان ذکر است که باندهای مورد استفاده برای محاسبه این نمایه‌ها از میانگین باندهای متناظر متعلق به تاریخ‌های مختلف سال ۲۰۲۰ استخراج شده است. معادلات به کاررفته برای هر نمایه و منبع آن در جدول ۲ بیان شده است.

جدول ۲. نمایه های ساخت و ساز شده (شماره باند براساس باندهای ماهواره لندست - ۸ سنجنده های OLI و TIRS است)

نمایه	معادله	رفرنس	تعداد ارجاع
DBI	$DBI = \frac{b2-b10}{b2+b10} - NDVI$	Rasul et al. (2018)	۷۷
NDVI	$NDVI = \frac{b5-b4}{b5+b4}$	Bouhennache et al. (2018)	۲۱
BLFEI	$BLFEI = \frac{\frac{b3+b4+b7-b6}{3}}{\frac{b3+b4+b7}{3}+b6}$	Bouzekri et al. (2015)	۶۰
BAEI	$BAEI = (b4 + L)/(b3 + b6)$ • ثابت حسابی برابر با $\frac{L}{3}$	Bhatti & Kumar Tripathi (2014)	۱۸۵
BAEM	$BAEM_{OLI} = NDBI_{OLI} - NDVI_{OLI} - MNDWI_{OLI}$ $MNDWI_{OLI} = \frac{b3-b7}{b3+b7}$ $NDBI_{OLI} = \frac{(PCA\ b\ 6\ and\ 7 + PCA\ b\ 10\ and\ 11) - b5}{(PCA\ b\ 6\ and\ 7 + PCA\ b\ 10\ and\ 11) + b5}$ • تحلیل مؤلفه های اصلی PCA		

این روش به فرایندی تکراری نیاز دارد؛ یعنی محاسبات باید، با استفاده از شکسته های گوناگون در مجموعه داده، تکرار شوند تا مشخص شود کدام مجموعه شکسته کمترین واریانس در کلاس را دارد. این مشخصات موجب شده است این شیوه بهترین روش شکست داده ها نامیده شود. استفاده از روش یکسان، در طبقه بندی، امکان مقایسه نمایه ها با یکدیگر را فراهم می آورد و مقایسه نمایه ها را با روش LCZ نیز امکان پذیر می سازد.

۳-۳- ارزیابی صحت طبقه بندی ها  
۲۱۸ نقطه تصادفی، برای صحت سنجی نتایج طبقه بندی، به کار رفت و با محاسبه صحت کلی<sup>۴</sup> و صحت تولید کننده<sup>۵</sup> و مصرف کننده<sup>۶</sup>، صحت طبقه بندی مقایسه شد. از این تعداد، ۵۳ نقطه متعلق به مناطق

1. Natural Breaks (Jenks Classification Method)
2. Jenks Natural Breaks Optimization
3. Fisher's Natural Breaks
4. Overall Accuracy
5. User Accuracy
6. Producer Accuracy

ممکن است آستانه استخراج مناطق ساخت و ساز شده، بین مناطق گوناگون، با اراضی بایر و سایر انواع پوشش اراضی متفاوت باشد (Rasul et al., 2018)؛ از این رو طبقه بندی لایه های به دست آمده با اعمال نمایه های ساخت و ساز جدول ۲ به روش شکست طبیعی انجام شد و با توجه به پدیده های غالب منطقه، شامل اراضی ساخت و ساز شده، پوشش گیاهی، اراضی بایر و مناطق صخره ای، تعداد طبقات چهار تا در نظر گرفته شد. دلیل دیگر انتخاب چهار طبقه افزایش دقت طبقه بندی (صحت تعداد طبقات، با آزمون و خط)، به صورت چشمی نیز بررسی شد و نیز امکان مقایسه با چهار طبقه حاصل از لایه دوباره طبقه بندی شده LCZ بوده است. روش شکست طبیعی<sup>۱</sup> با توجه به کاربرد ساده و با منطق تفکیک طبقات براساس پراکنش ارزش های آنها انتخاب شد. این شیوه بهینه سازی شکسته های طبیعی جنک<sup>۲</sup> و شکسته های طبیعی فیشر<sup>۳</sup> نیز نامیده می شود. در این روش، مرز کلاس های طبیعی براساس گروه بندی های طبیعی که ذاتاً در داده ها وجود دارد، به صورت خود کار تعیین می شود؛ به عبارتی این شیوه تفاوت ارزش های پیکسل های متعلق به هر طبقه را به حداقل و تفاوت آن را با سایر طبقات به حداقل می رساند.

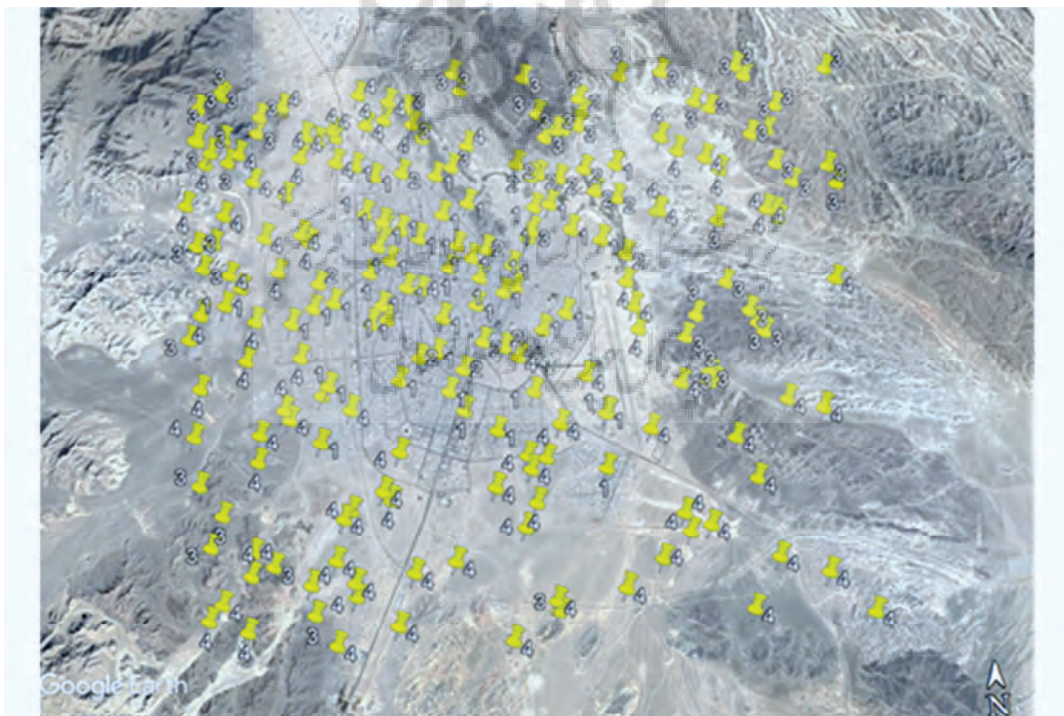
نمایه را در منطقه مورد مطالعه و محور عمودی نیز فراوانی هر ارزش را نشان می دهد. مطابق این شکل، محل های شکست (خطهای آبی در نمودارهای فراوانی) در ارزش هایی قرار گرفته اند که تفاوت فاحشی بین ارزش طبقات وجود داشته باشد؛ به عبارتی، نوعی خوش بندی بین ارزش های پیکسل ها انجام شده تا در هر خوشه (طبقه)، بیشترین شباهت ارزش ها و بین خوشه ها بیشترین تفاوت ارزش ها دیده شود.

نقشه حاصل از اعمال نمایه ها در شکل ۴ نشان داده شده است. طبق این شکل، دست کم به صورت چشمی، به کمک نمایه های BAEI و BLFEL در نمایه DBI را براحتی نمی توان مناطق ساخت و ساز شده را از سایر پوشش اراضی تفکیک کرد؛ همچنین اراضی ساخت و ساز شده در نمایه DBI دارای ارزش بیشتر و در نمایه BAEI با ارزش های کمتر است و براین اساس می توان آنها را از دیگر طبقات مورد نظر تفکیک کرد. در ادامه، نمایه ها براساس روش شکست طبیعی، طبقه بندی شد.

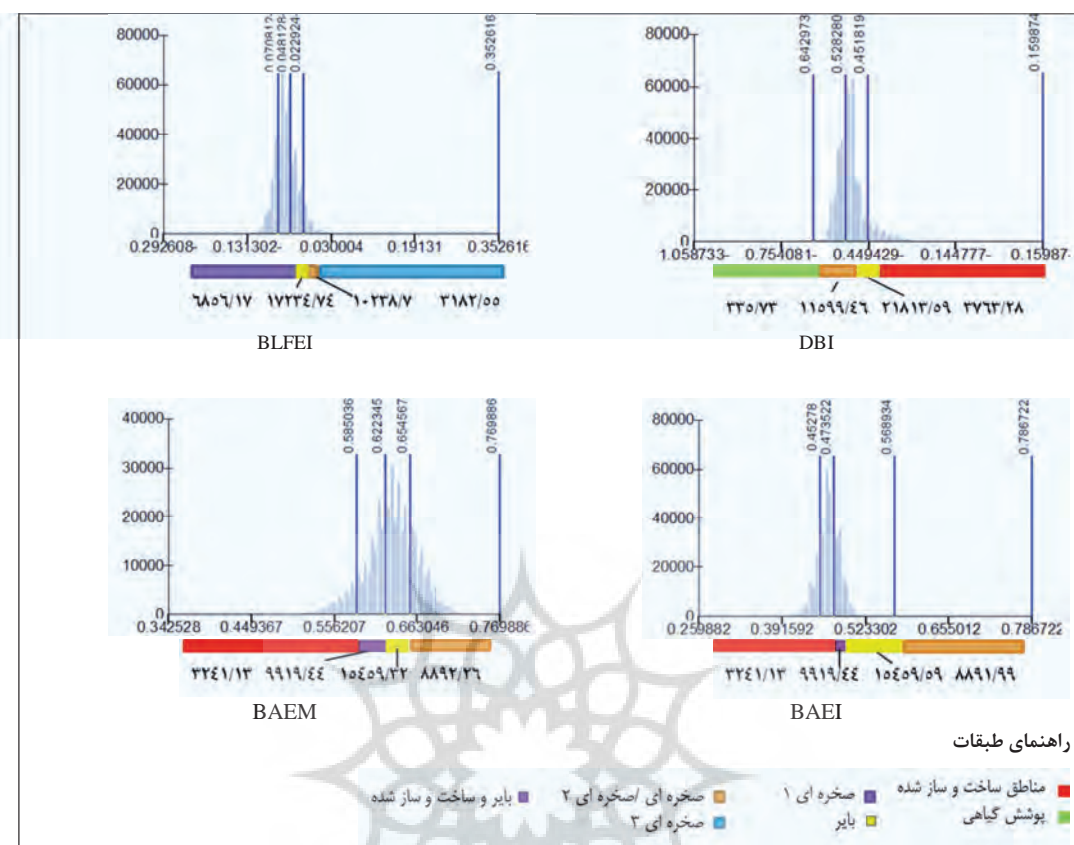
ساخت و ساز شده، ۱۷ نقطه متعلق به پوشش گیاهی (پوشش گیاهی منطقه مورد مطالعه بسیار کم است)، ۵۵ نقطه مختص اراضی صخره ای و ۹۳ نقطه متعلق به اراضی بایر بود. نقاط مورد نظر، با دستور Random در نرم افزار ادریسی ترسیت، تهیه و در گوگل ارث طبقه هریک از آنها تعیین شد؛ سپس برای صحبت سنگی، از دستور ERMAT در نرم افزار ادریسی ترسیت استفاده شد. شکل ۲ پرداخت این نقاط را به تفکیک کاربری اراضی در گوگل ارث، نشان می دهد.

#### ۴- نتایج

براساس نتایج تحلیل مؤلفه های اصلی، برای به دست آوردن نمایه BAEI، باندهای ۶ و ۷ مقدار ۹۸/۶٪ واریانس بین داده ها را توجیه می کنند و این مقدار در مورد باندهای ۱۰ و ۱۱، ۹۹/۹۹٪ است. شکل ۳ نمودار شکست های طبیعی را برای چهار نمایه DBI، BAEI، BLFEI و BAEI نشان می دهد. در این شکل، محور افقی دامنه ارزش های هر



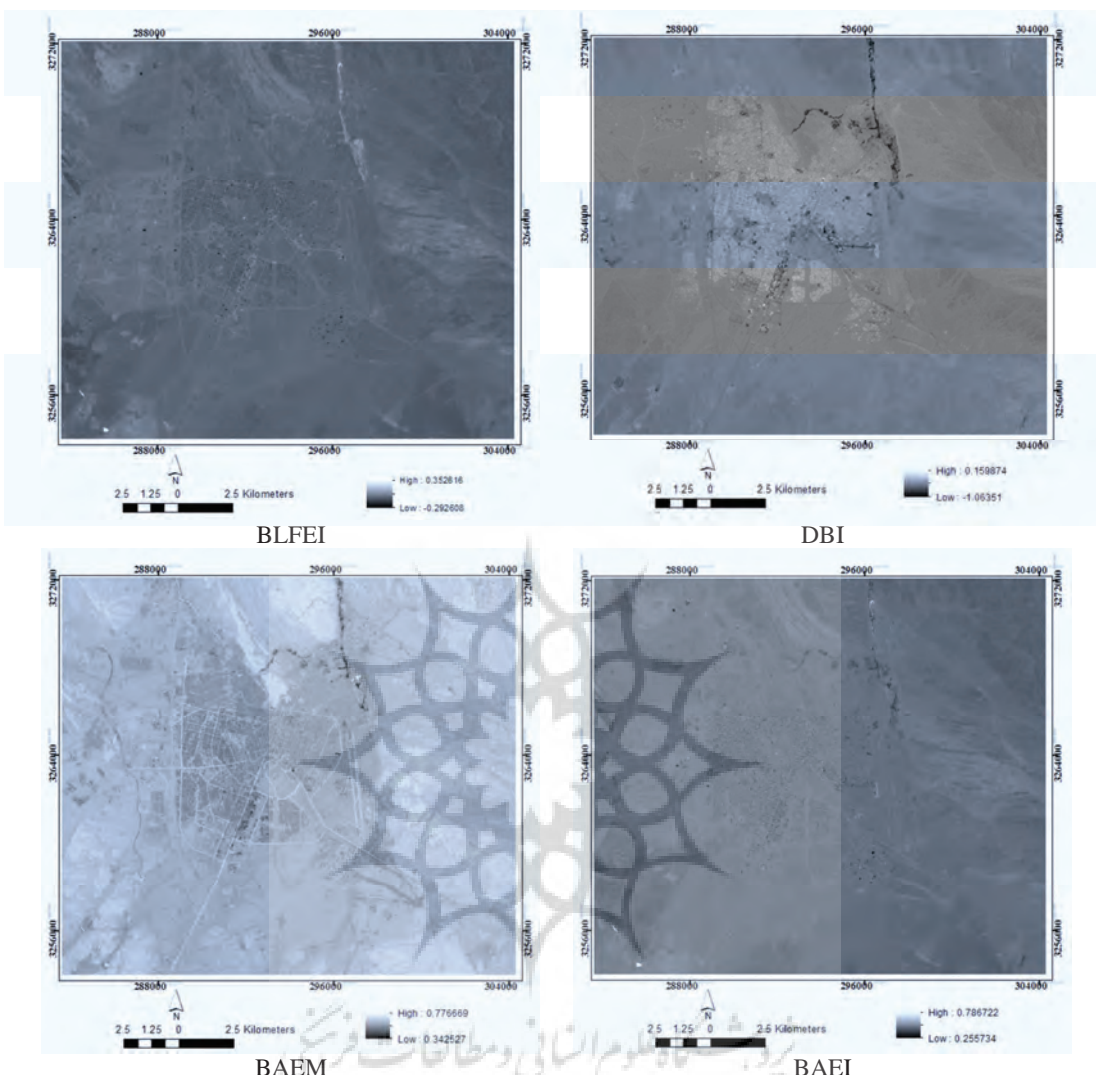
شکل ۲. نقاط تصادفی برای ارزیابی صحت نتایج طبقه بندی ها



شکل ۳. نمودار شکستهای طبیعی نمایه‌های مناطق ساخت و ساز شده (اعداد زیر نوار رنگ طبقات نشان‌دهنده مساحت/ هکتار هر طبقه است)

پوشش گیاهی ۳۷۳/۰۹، صخره‌ای ۱۱۰۳۱/۹۵ و بایر ۱۷۶۲۱/۵۱ هکتار است. مقایسه چشمی نتایج اجرای این الگوریتم، با نتایج طبقه‌بندی نقشه‌های نمایه‌های مناطق ساخت و ساز شده، انسجام و پیوستگی بیشتر چهار طبقه را نشان می‌دهد و اینکه مناطق شهری پراکنده، که احتمالاً به اشتباہ طبقه‌بندی شده‌اند، بیشتر در زمین‌های صخره‌ای و سنگی قرار دارند (نقاط پراکنده ساخت و ساز شده در شمال شهر زاهدان، شکل ۶). این مسئله به دلیل درنظرگرفتن اقلیم‌های محلی خرد در روش LCZ است. به این ترتیب اراضی ساخت و ساز شده، با ایجاد سایه، خنک‌تر از اراضی اطراف اند و از این‌رو با اراضی صخره‌ای پرشیب و سایه‌دار در مناطق محدود، تفاوت خرد اقلیمی چندانی نداشته‌اند.

نقشه نمایه‌های طبقه‌بندی شده در شکل ۵ نشان داده شده است. در این شکل، نام هر طبقه براساس واقعیت زمینی و نیز این نکته انتخاب شده است که پیکسل‌ها بیشتر در کدام طبقه قرار دارند. برای مینا، نمایه DBI چهار طبقه پوشش گیاهی، بایر، سنگ و صخره و مناطق ساخت و ساز شده را تفکیک کرده، نمایه BLFEL قادر به تفکیک مناطق ساخت و ساز شده نبود و نمایه‌های BAEM و BAEI نیز مناطق بایر را به خوبی از اراضی ساخت و ساز شده تفکیک نکرده‌اند و قادر به تفکیک طبقه پوشش گیاهی نیز نیستند. طبقه‌بندی یازده گانه تصاویر ماهواره‌ای لندست به روش الگوریتم LCZ و همچنین طبقه‌بندی دوباره آن به چهار دسته در شکل ۶ نشان داده شده است. براساس این نقشه، مساحت مناطق ساخت و ساز شده ۸۳۶۵/۰۸



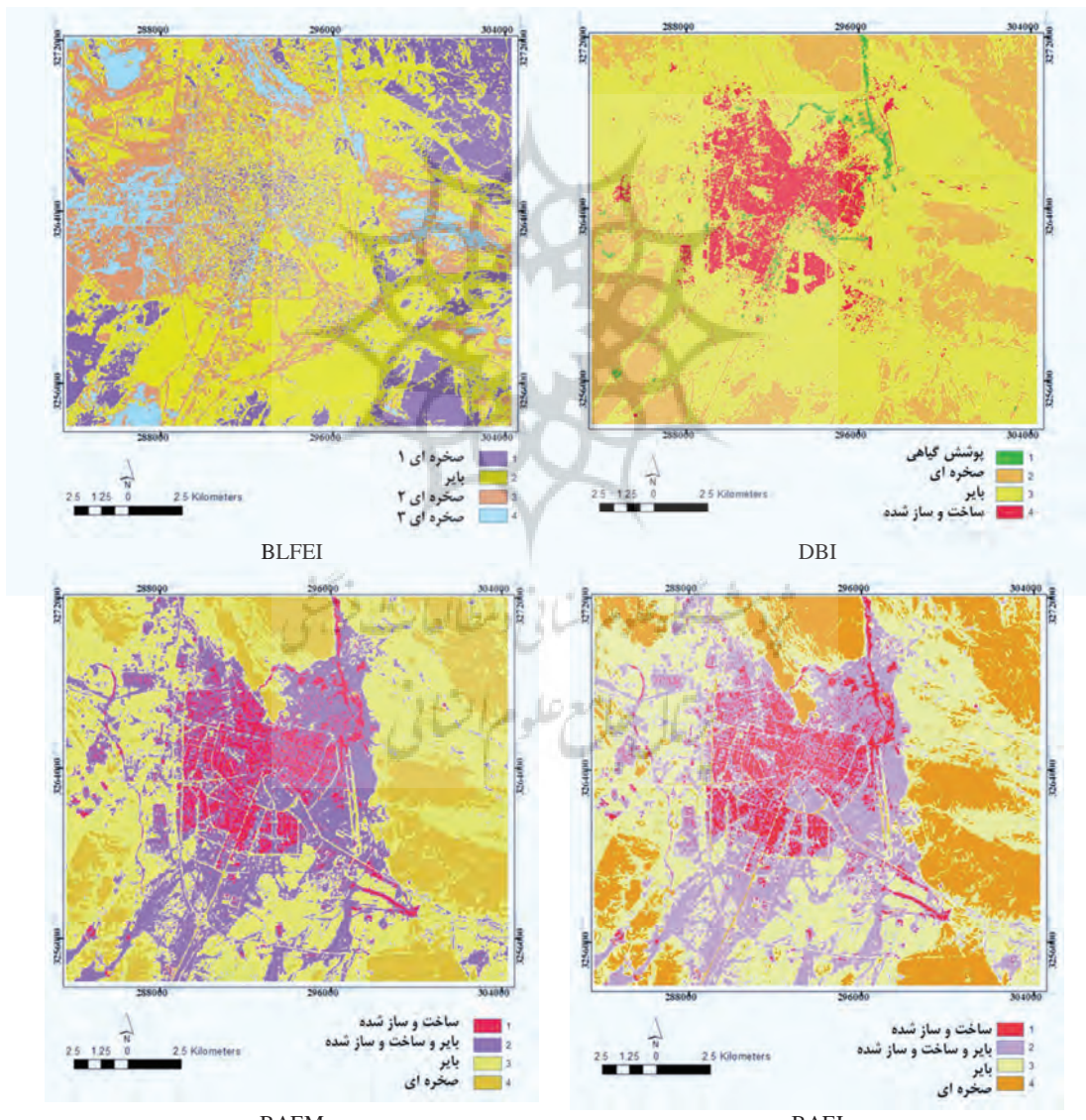
شکل ۴. نقشه نمایه‌های مناطق ساخت‌وساز شده

**۵- بحث و نتیجه‌گیری**  
براساس نتایج به دست آمده، از بین نمایه‌های DBI، BLFEI و BAEM فقط نمایه DBI قادر به تشخیص چهار طبقه مورد نظر (پوشش گیاهی، بایر، سنگ و صخره و مناطق ساخت‌وساز شده) است. تفاوت آن با نقشه به دست آمده از طبقه‌بندی دوباره لایه حاصل از اجرای الگوریتم LCZ در مهمنترین پوشش اراضی مورد نظر، یعنی کاربری شهری، این است که

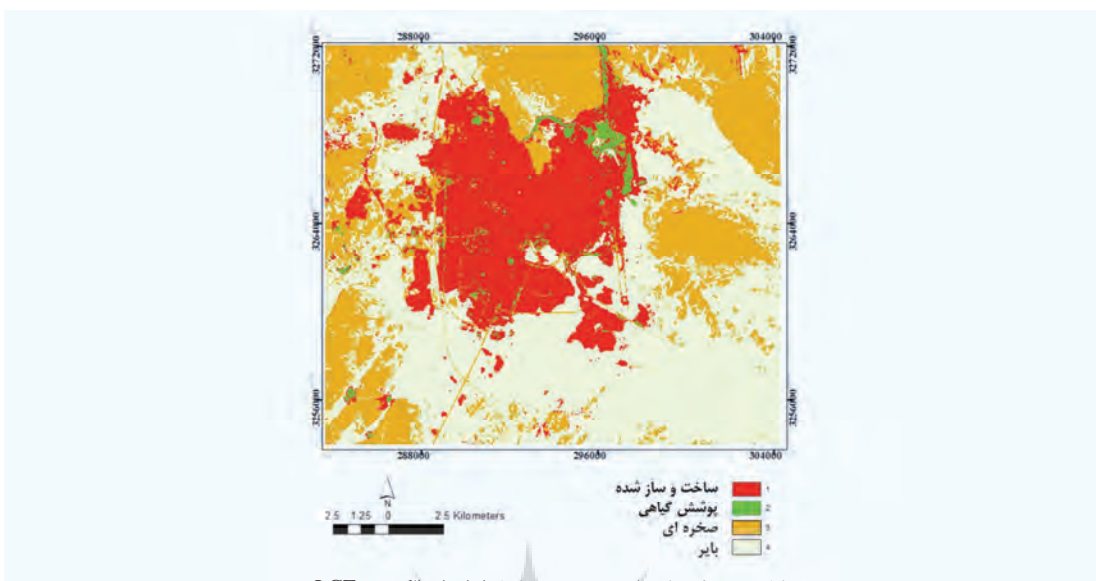
از آنجاکه از بین نمایه‌های ساخت‌وساز شده، فقط نمایه DBI تفکیک چهار طبقه پوشش گیاهی، بایر، سنگ و صخره و مناطق ساخت‌وساز شده را داشت، برای این نمایه و لایه حاصل از LCZ صحت‌سنجی انجام شد. جدول ۳ نتایج صحت‌سنجی را نشان می‌دهد. براین اساس روش طبقه‌بندی نظارت شده LCZ در تفکیک چهار طبقه مورد نظر، صحت بیشتری دربردارد.

صرف کننده، تفاوت این دو شیوه در خور ملاحظه است. لکه های پراکنده مسکونی اشتباه آن نیز بیشتر از LCZ است. در این نمایه، جاده ها به منزله مناطق صخره ای طبقه بندی شده که شبیه اجرای الگوریتم LCZ است و نشان می دهد بازتاب طیفی جاده، در باندهای استفاده شده در الگوریتم LCZ، به مناطق صخره ای شیاهت دارد. هرچند جاده، به منزله پوشش اراضی مستقل، مورد نظر این تحقیق نبوده و نمونه ای تعلیمی برای آن در نظر گرفته نشده است.

مناطق ساخت و ساز شده را کمتر از مقدار واقعی نشان می دهد؛ بدین ترتیب اگر نقشه حاصل از LCZ در نظر گرفته شود، شاخص BAEI با تشخیص ۳۷۶۳/۲۸ هکتار از مساحت مناطق ساخت و ساز شده، توانسته است ۴۵٪ مناطق ساخت و ساز شده را تفکیک کند و همچنین صحت طبقه بندی آن بسیار کمتر از LCZ است، یعنی صحت کلی آن ۳۷/۱۵٪ است؛ در صورتی که صحت کلی لایه حاصل از ۹۶/۳۳٪ LCZ است. از نظر سایر نمایه ها نیز، مانند صحت تولید کننده و



شکل ۵. نقشه لایه های حاصل از طبقه بندی نمایه های مناطق ساخت و ساز شده



شکل ۶. نقشه دوباره طبقه‌بندی شده حاصل از اجرای الگوریتم LCZ

جدول ۳. صحبت‌سنگی نتایج طبقه‌بندی

طبقه‌بندی نمایه DBI	طبقه‌بندی به روشن	روش	طبقه‌ها
			طبقه‌بندی نمایه DBI
۶۴/۷۱	۷۶/۴۷	صحت تولید کننده (درصد)	پوشش گیاهی
۹۱/۶۷	۱۰۰	صحت مصرف کننده (درصد)	
۲۰/۴۳	۹۷/۰۲۸۴	صحت تولید کننده (درصد)	بایر
۲۹/۶۹	۱۰۰	صحت مصرف کننده (درصد)	
۳۴/۵۵	۹۶/۳۶	صحت تولید کننده (درصد)	سنگ و صخره
۱۷/۲۷	۹۸/۱۵	صحت مصرف کننده (درصد)	
۶۰/۳۸	۱۰۰	صحت تولید کننده (درصد)	ساخت و ساز شده
۱۰۰	۸۸/۳۳	صحت مصرف کننده (درصد)	
۳۷/۱۵	۹۶/۳۳	صحت کلی (درصد)	

بررسی نمایه‌های دیگری که نمایه‌های مناسب برای BAEI با تشخیص مناطق خشک و نیمه‌خشک معرفی شده‌اند نشان می‌دهد، در نقشه به دست آمده از طبقه‌بندی نمایه BAEI، پوشش گیاهی و مناطق ساخت و ساز شده را نمی‌توان از هم تفکیک کرد. طبقه‌ای ترکیبی نیز وجود دارد که مناطق بایر و ساخت و ساز شده را دربرمی‌گیرد و بنابراین مشکل اساسی، یعنی تفکیک مناطق ساخت و ساز شده از اراضی بایر را نشان نمی‌دهد. به علاوه مناطق ساخت و ساز شده را بسیار کمتر از مقدار واقعی نشان می‌دهد (۳۹٪ مناطق ساخت و ساز شده را

درمورد اریل عراق استفاده شده است، صحت کلی ۰/۹۳ و کاپای کلی ۰/۸۶ بیان شد. بوناچی و همکاران (۲۰۱۸) صحت کلی طبقه‌بندی نمایه BLFEI را درمورد مناطق ساختوسازشده، بایر، پوشش گیاهی و آب، ۰/۹۵ و ضریب کاپا را ۰/۹۰ گزارش کردند. بوذکری و همکاران (۲۰۱۵) نمایه‌ای جدید به نام BAEI را برای تفکیک مناطق ساختوسازشده با صحت کلی ۹۲/۷ و ضریب کاپای ۰/۸۵، درمورد شهر یلفا (شمال الجزایر، افریقا)، گزارش کردند که صحت کلی کارآیی آن بیشتر از دیگر کاربری‌هاست. اما در این مطالعه، درمورد نمایه‌های یادشده، صحت بالایی به دست نیامد که می‌توان دلیل آن را در مصالح به کاررفته در سقف خانه‌ها وجود جاده‌های خاکی جستجو کرد. سقف مناطق مسکونی در حومه شهر، از نظر امواج الکترومغناطیس، با محیط اطراف تقریباً یکسان است و این نکته تفکیک پوشش اراضی را مشکل می‌کند. دلیل دیگر استفاده از روش خودکار شکست طبیعی بهمنظور تفکیک پدیده‌ها در این شیوه است. از آنجاکه این مطالعه به دنبال یافتن روشی ساده با دقت بالاست، نمایه‌های ساختوسازشده را مورد توجه قرار داده و بررسی کرده است که آیا امکان طبقه‌بندی خودکار، برای به دست آوردن طبقات غالب منطقه، با کمک این نمایه‌ها وجود دارد یا خیر. اگر چنین امکانی وجود نداشته باشد، برای طبقه‌بندی دستی باید آستانه‌ها تعیین شوند که به دست آوردن آنها یا بومی سازی آن، درباره منطقه مورد مطالعه، کار پیچیده‌ای است و با هدف تحقیق حاضر هم خوانی ندارد. از این‌رو می‌توان نتیجه گرفت روش شکست طبیعی، در طبقه‌بندی خودکار نمایه‌های ساختوسازشده که در این پژوهش به کار رفته است،

تفکیک کرده است. براساس روش طبقه‌بندی شکست طبیعی، نمایه BLFEI بدترین نتیجه را دربردارد و فقط می‌تواند اراضی صخره‌ای و بایر را تفکیک کند. این نمایه سه دسته را درمورد صخره شناسایی کرد و نتوانست مناطق ساختوسازشده را شناسایی کند. براساس مطالعه اکیب<sup>۱</sup> و همکاران (۲۰۲۱)، استفاده از باندهای حرارتی باعث افزایش صحت طبقه‌بندی می‌شود که با مطالعه حاضر هم راستاست زیرا، از بین نمایه‌های مورد بررسی، فقط نمایه DBI قادر به تفکیک چهار پدیده مورد نظر است؛ هرچند صحت آن کمتر از روش LCZ است که از هر دو باند حرارتی ماهواره لندست استفاده می‌کند.

نکته در خور توجه در تفاوت مناطق ساختوسازشده از نمایه‌های گوناگون و الگوریتم LCZ، با توجه به تصاویر گوگل ارث، به دست آمده است؛ اینکه تمامی نمایه‌ها مناطق ساختوسازشده را کمتر از مقدار واقعی (تصاویر گوگل ارث) نشان می‌دهند اما LCZ این مناطق را کمی بیشتر از مقدار واقعی نشان می‌دهد زیرا این شیوه اقلیم‌های کوچک محلی را براساس نمونه‌های تعلیمی شناسایی می‌کند و استفاده از باندهای مادون قرمز حرارتی سنجنده TIRS در روش طبقه‌بندی LCZ، با درنظر گرفتن تغییرات حرارتی، بهتر می‌تواند اراضی ساختوسازشده را از سایر پوشش اراضی تفکیک کند. از این‌رو این شیوه طبقه‌بندی، در مطالعات محیط‌زیستی، اهمیت و جایگاه خاص خود را دارد زیرا گستره شهر را تآنچاکه مناطق ساختوسازشده در خرداقلیم تأثیر می‌گذارد، درنظر می‌گیرد.

نمایه‌های به کاررفته در این پژوهش همگی در اقلیم‌های خشک و نیمه‌خشک توسعه یافته‌اند و صحت مورد قبولی نیز درمورد آنها گزارش شده است Bouzekri et al., 2015; Bouhennache et al., 2018; ) Bhatti and Kumar Tripathi, 2014; Rasul et al., (2018). در پژوهش رسول و همکاران (۲۰۱۸) که

1. Akib

## ۷- منابع

- Akib, J., Qimin, C., Hao, P., Orhan, A., Yan, L., Iffat, A., Enamul, H., Yeamin, A. & Nayyer, S., 2021, **Review of Spectral Indices for Urban Remote Sensing**, Photogrammetric Engineering & Remote Sensing, 87, PP. 513-524.<https://doi.org/10.14358/PERS.87.7.513>
- As-Syakur, A.R., Adnyana, I.W.S., Arthana, I.W. & Nuarsa, I.W., 2012., **Enhanced Built-up and Bareness Index (EBBI) for Mapping Built-up and Bare Land in an Urban Area**, Remote Sens., 4, PP. 2957-2970.  
<https://doi.org/10.3390/rs4102957>
- Bhatti, S.S. & Kumar Tripathi, N., 2014, **Built-up Area Extraction Using Landsat 8 OLI Imagery**, GIScience & Remote Sensing., 51, PP. 445-467.  
<https://doi.org/10.1080/15481603.2014.939539>
- Bouhennache, R., Boudin, T., Taleb-Ahmed, A. & Cheddad, A., 2018, **A New Spectral Index for the Extraction of Built-up Land Features from Landsat 8 Satellite Imagery**, Geocarto. International, 34, PP. 1531-1551.  
<https://doi.org/10.1080/10106049.2018.1497094>
- Bouzekri, S., Lasbet, A.A. & Lachhab, A.A, 2015, **New Spectral Index for Extraction of Built-Up Area Using Landsat-8 Data**, J. Indian Soc. Remote Sens., 43, PP. 867-873.  
<https://doi.org/10.1007/s12524-015-0460-6>
- Chen, W., Liu, L., Zhang, C., Wang, J., Wang, J. & Pan, Y., 2004, **Monitoring the Seasonal Bare Soil Areas in Beijing Using Multitemporal TM Images**, In Proceedings of the 2004 IEEE International Geoscience and Remote Sensing Symposium (IGARSS'04), Anchorage, AK, USA, 20-24 September 2004.  
<https://doi.org/10.1109/IGARSS.2004.1370429>
- Chen, X.L., Zhao, H.M., Li, P.X. & Yin, Z.Y., 2006, **Remote Sensing Image-Based Analysis of the Relationship between Urban Heat Island and Land Use/Cover Changes**, Remote Sens. Environ., 104, PP. 133-146.  
<https://doi.org/10.1016/j.rse.2005.11.016>
- Demuzere, M., Kittner, J. & Bechtel, B., 2021, **LCZ Generator: A Web Application to Create Local Climate Zone Maps**, Front. Environ. Sci., 9, PP. 1-18.  
<https://doi.org/10.3389/fenvs.2021.637455>

نتیجه مطلوبی دربرندارد؛ بدین ترتیب، ساده‌ترین کار استفاده از روش طبقه‌بندی نظارت شده LCZ است که امکان تفکیک پدیده‌ها با دقت بالا را فراهم می‌آورد. در نمایه‌های ساخت‌وساز شده به جز نمایه BAEM از باندهای حرارتی استفاده نشده است؛ از دیگر سو، در روش LCZ از باندهای ۱ تا ۷ و باند ۱۱ و ۱۲ استفاده می‌شود و بنابراین، با درنظر گرفتن خرداقلیم، LCZ اراضی ساخت‌وساز شده را بهتر آشکار می‌کند. وجود سایه ساختمان‌ها، استفاده از وسایل سرمایشی و گرمایشی و همچنین فضای سبز داخل خانه‌ها (هر چند در ابعاد پیکسل سی‌متري لنده است تشخیص داده نمی‌شود) در خرداقلیم تأثیرگذار است و از این‌رو روش LCZ، در تفکیک پوشش اراضی، موفق تر از نمایه‌های است. یکی از مشکلات استفاده از نمایه‌ها، در تفکیک پوشش اراضی، تعیین آستانه طبقه‌های است. در این مطالعه، به منظور یکسان شدن روش طبقه‌بندی، از شکست طبیعی استفاده شد که از روش‌های متداول طبقه‌بندی و براساس نمودار پراکنش ارزش‌های است؛ اما در روش LCZ، طبقه‌بندی برمبنای الگوریتم جنگل تصادفی انجام می‌شود.

با توجه به قدرت بالای تفکیک پوشش اراضی در روش LCZ، استفاده از این شیوه در مطالعات آینده و در اقلیم‌های مشابه، به ویژه در مطالعات محیط‌زیست شهری، پیشنهاد می‌شود. ارتباط رشد گستره شهر با رشد جمعیت و استفاده از نمایه‌های گوناگون به جای باندها در طبقه‌بندی نظارت شده و نشده نیز برای مطالعات آینده توصیه می‌شود.

## ۶- سپاس‌گزاری

این مطالعه با حمایت مالی دانشگاه زابل و کد پژوهانه IR-UOZ-GR-4956 به انجام رسیده است.

- He, C., Shi, P., Xie, D. & Zhao, Y., 2010, **Improving the Normalized Difference Built-up Index to Map Urban Built-up Areas Using a Semiautomatic Segmentation Approach**, *Remote Sens. Lett.*, 1, PP. 213-221. <https://doi.org/10.1080/01431161.2010.481681>
- Huang, W., Zeng, Y. & Li, S., 2014, **An Analysis of Urban Expansion and Its Associated Thermal Characteristics Using Landsat Imagery**, *Geocarto International*, 30, PP. 93-103. <https://doi.org/10.1080/10106049.2014.965756>
- Khan, M.S., Ullah, S. & Chen, L., 2021, **Comparison on Land-Use/Land-Cover Indices in Explaining Land Surface Temperature Variations in the City of Beijing, China**, *Land.*, 10, P. 1018. <https://doi.org/10.3390/land10101018>
- Mohammadi, R., Krkeabadi, Z. & Miri, M.R., 2020, **Factors Affecting the Relations of the Border Area Cities of Zahedan and Mirjaveh with the Surrounding Areas**, *Journal of Urban Peripheral Development*, 2(1), PP. 163-174. <https://doi.org/10.1001.1.26764164.1399.2.1.10.7>
- Mukherjee, A., Kumar, A. & Ramachandran, P., 2021, **Development of New Index-Based Methodology for Extraction of Built-Up Area From Landsat7 Imagery: Comparison of Performance With SVM, ANN, and Existing Indices**, *IEEE Transactions on Geoscience and Remote Sensing*, 59, PP. 1592-1603. <https://doi.org/10.1109/TGRS.2020.2996777>
- Rasul, A., Balzter, H., Ibrahim, G.R.F., Hameed, H.M., Wheeler, J., Adamu, B., Ibrahim, S. & Najmaddin, P.M., 2018, **Applying Built-Up and Bare-Soil Indices from Landsat 8 to Cities in Dry Climates**, *Land.*, 7, P. 81. <https://doi.org/10.3390/land7030081>
- Rouibah, K. & Belabbas, M., 2020, **Applying Multi-Index Approach from Sentinel-2 Imagery to Extract Urban Area in Dry Season (Semi-Arid Land in North East Algeria)**, *Revista de Teledetección*, 56, PP. 89-101. <https://doi.org/10.4995/raet.2020.13787>
- Shahfahad, Mourya, M., Kumari, B., Tayyab, M., Paarcha, A.A. & Rahman, A., 2021, **Indices Based Assessment of Built-Up Density and Urban Expansion of Fast Growing Surat City Using Multi-Temporal LANDSAT DATA Sets**, *GeoJournal*, 86, PP. 1607-1623. <https://doi.org/10.1007/s10708-020-10148-w>
- Zha, Y., Gao, J. & Ni, S., 2003, **Use of Normalized Difference Built-Up Index in Automatically Mapping Urban Areas from TM Imagery**, *Int. J. Remote Sens.*, 24, PP. 583-594. <https://doi.org/10.1080/01431160304987>



# سنجش از دور ، ایران GIS



سنجش از دور و GIS ایران سال پانزدهم، شماره چهارم، زمستان ۱۴۰۲  
Vol.15, No. 4, Winter 2023 Iranian Remote Sensing & GIS

1-16

## Comparison of the Efficiency of Local Climatic Zone Algorithm in Separating Built-Up Area Compared to Built-Up Indices

Satari N.<sup>1</sup>, Erfani M.<sup>2\*</sup>, Jahanishakib F.<sup>3</sup>

1. M.Sc. of Faculty of Natural Resources, University of Zabol
2. Associate Prof., Dep. of Environmental Sciences, Faculty of Natural Resources, University of Zabol
3. Assistant Prof., Dep. of Environmental Sciences, Faculty of Natural Resources and Environment, University of Birjand

### Abstract

Trend analysis of growth of cities and predicting their changes in the future are essential for spatial planning. For this purpose, it is necessary to map build-up areas. In many areas, especially in arid climate, it is not possible to separate the build-up areas from the surrounding land cover simply. That's mean the usual methods of classifying satellite images or conventional indices can't separate mentioned classes with acceptable accuracy. Hence, many researchers have developed different spectral indices to extract the build-up areas. The use of surface temperature changes to represent build-up areas using the Local Climate Zones (LCZ) algorithm is less considered and is a relatively new method. Therefore, in this paper, the separation of build-up areas from the other surrounding land cover was considered using LCZ algorithm. There is no limit to the number of bands in this method, thus four series of Landsat satellite images in the year 2020 were used and the LCZ algorithm's accuracy was compared with the latest automatic classified build-up indices including DBI, BLFEI, BAEI and BAEM. The results of this study showed that the classification accuracy of the LCZ algorithm was 96%, while the BLFEI and BAEM indices were not able to completely separate the build-up areas from other types of land cover. The total accuracy of the BAEI index was 0.37. Therefore, the use of LCZ method has a high efficiency compared to build-up indices, and it is recommended in arid and semi-arid zones.

**Keywords:** Land use, Landsat- 8, Thermal infrared, Classification, Spectral index.

\* Correspondence Address: Faculty of Natural Resources, University of Zabol, Postal cod: 73831-98616 ,Tel: 09151604366

Email: maliheerfani@uoz.ac.ir  
<https://orcid.org/0000-0001-5179-9447>  
<https://dx.doi.org/10.48308/gisj.2022.102576>



Copyright: © 2023 by the authors. Submitted for possible open access publication under the terms and conditions of the Creative Commons Attribution (CC BY) license (<https://creativecommons.org/licenses/by/4.0/>).